

Pavages apériodiques en dimension 1:
de la combinatoire à la géométrie en passant par l'algèbre

Sébastien Labbé

Petite école de combinatoire
Combinatoire et interactions
LaBR1

19 octobre 2020

Objectif

Présenter le pavage de la droite réelle \mathbb{R} associé à la substitution de Fibonacci sous plusieurs angles, pour ensuite faire des liens avec les pavages aperiodiques de \mathbb{R}^2 .

Contenu

Introduction ③-④-⑤-⑥
(mots, configurations, morphismes, substitutions, matrice d'incidence, théorème de Penon-Frobenius)

Mot de Fibonacci ⑦-⑧-⑨-⑩
(substitution géométrique, pavage de \mathbb{R} auto-similaire, schéma de coupe et projection classique x2)

Schéma de coupe et projection naturel ⑪-⑫-⑬-⑭
(corps de nombres quadratique, plongement de Minkowski, conjugaison algébrique)

Un Mariage avant de passer à \mathbb{R}^2 ⑮

Un Bonus pour Bétréma ⑯

Le Monoïde libre

$A = \{a, b\}$: alphabet, ε est l'élément neutre de la concaténation

$A^* = \{\varepsilon, a, b, aa, ab, ba, bb, aaa, \dots\}$: ensemble des mots

Si $w \in A^*$, $|w|_a$ est le nombre d'occurrences de la lettre $a \in A$ dans w
et $\vec{w} = \begin{pmatrix} |w|_a \\ |w|_b \end{pmatrix} \in \mathbb{N}^2$. Par exemple, $\vec{aaba} = \begin{pmatrix} 3 \\ 1 \end{pmatrix}$.

Configurations et Full shift

$$A^{\mathbb{N}} = \{w : \mathbb{N} \rightarrow A\}$$

Par exemple, $w = (aab)^\infty = \overset{0}{a} \overset{1}{a} \overset{2}{b} \dots$
 $aabaabaabaab \dots$

$$A^{\mathbb{Z}} = \{w : \mathbb{Z} \rightarrow A\}$$

Par exemple, $w = \overset{-3}{a} \overset{-2}{a} \overset{-1}{b} \overset{0}{a} \overset{1}{a} \overset{2}{b} \dots$
 $\dots aabaabaabaabaab \dots$

Morphisme de monoïde

Une fonction $s: A^* \rightarrow A^*$ t.g. $s(\varepsilon) = \varepsilon$ et $s(uv) = s(u)s(v) \forall u, v \in A^*$.

Donc définie par l'image des lettres.

Par exemple, $s: \{a, b\}^* \rightarrow \{a, b\}^*$
 $a \mapsto ab$
 $b \mapsto a$

$$\text{et } s(aaba) = ababaab = s(a)s(a)s(b)s(a)$$

Substitution de configurations

Si $s: A^* \rightarrow A^*$, alors $s: A^{\mathbb{N}} \rightarrow A^{\mathbb{N}}$
 $(w_n)_{n \geq 0} \mapsto s(w_0) \cdot s(w_1) \cdot s(w_2) \cdot \dots$

et $s: A^{\mathbb{Z}} \rightarrow A^{\mathbb{Z}}$
 $(w_n)_{n \in \mathbb{Z}} \mapsto \dots s(w_{-2})s(w_{-1}) \cdot s(w_0)s(w_1)s(w_2) \dots$

Par exemple, $s({}^\infty(aab)^\infty) = {}^\infty(ababa)^\infty$
 $= \dots ababa ababa \cdot ababa ababa ababa \dots$
 $\dots -2 -1 \quad 0 \quad 1 \quad 2 \dots$

Perron - Frobenius) theorem

Une matrice $A = (a_{ij})_{1 \leq i, j \leq n} \in \mathbb{R}^{n \times n}$ est positive, $A > 0$,

si $a_{ij} > 0 \forall i, j$.

et primitive si $\exists k \in \mathbb{N}$ t.g. $A^k > 0$.

Théorème (Perron) Si $A \in \mathbb{R}^{n \times n}$ est une matrice primitive de rayon spectral $\lambda \in \mathbb{R}_{>0}$, alors λ est une valeur propre simple et dominante de A associée à des vecteurs propres à gauche et à droite strictement positifs.

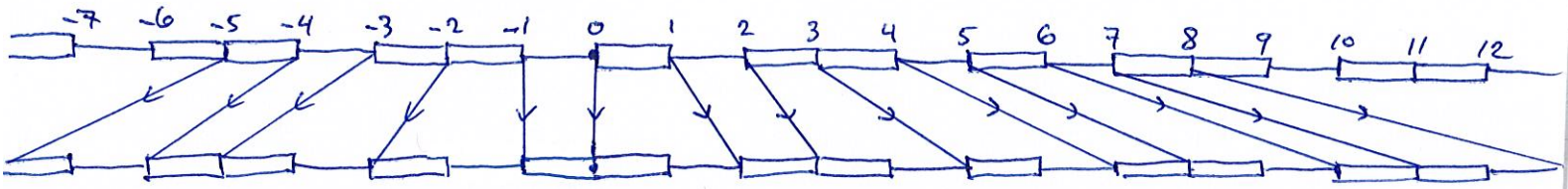
De plus, $\lim_{k \rightarrow \infty} \left(\frac{1}{\lambda} A\right)^k = VU$ si $Av = \lambda v$, $uA = \lambda u$ et $uv = (1)$.

Par exemple, $\begin{pmatrix} 1 & 1 \\ 1 & 0 \end{pmatrix} \begin{pmatrix} \varphi \\ 1 \end{pmatrix} = \begin{pmatrix} \varphi + 1 \\ \varphi \end{pmatrix} = \begin{pmatrix} \varphi^2 \\ \varphi \end{pmatrix} = \varphi \begin{pmatrix} \varphi \\ 1 \end{pmatrix}$ où $\varphi = \frac{1 + \sqrt{5}}{2}$
 $\varphi^2 = \varphi + 1$

et $\lim_{k \rightarrow \infty} \left[\frac{1}{\varphi} \begin{pmatrix} 1 & 1 \\ 1 & 0 \end{pmatrix} \right]^k = \frac{1}{\varphi + \varphi^{-1}} \begin{pmatrix} \varphi & 1 \\ 1 & \varphi^{-1} \end{pmatrix}$

Substitution géométrique et pavage de \mathbb{R} auto-similaire

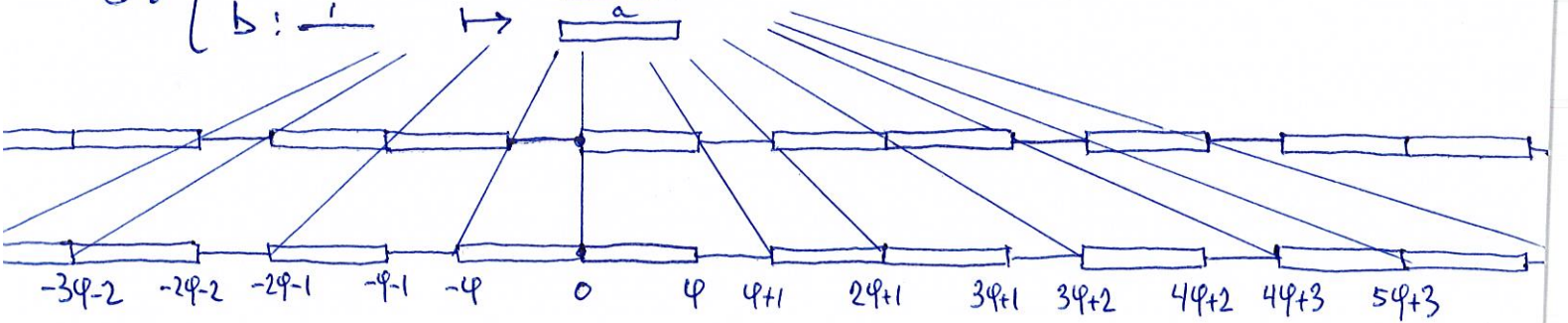
$$S: \begin{cases} a: \boxed{1} \mapsto \boxed{a} \boxed{b} \\ b: \boxed{-1} \mapsto \boxed{a} \end{cases}$$



Question: Peut-on trouver des longueurs pour \boxed{a} et \boxed{b} telles que la longueur de l'image d'un mot soit proportionnelle à sa longueur?

Réponse: Le vecteur propre à gauche de M_S !

$$S: \begin{cases} a: \boxed{\frac{1+\sqrt{5}}{2}} \mapsto \boxed{a} \boxed{b} \\ b: \boxed{-1} \mapsto \boxed{a} \end{cases}$$



MOT de Fibonacci obtenu par coupe et projection

Using cut-and-project Scheme

$\varphi = \frac{1+\sqrt{5}}{2}$

$\pi: \mathbb{R}^2 \rightarrow \mathbb{R}$ Projection on the physical space

$\pi_{int}: \mathbb{R}^2 \rightarrow \mathbb{R}$ projection on the internal space

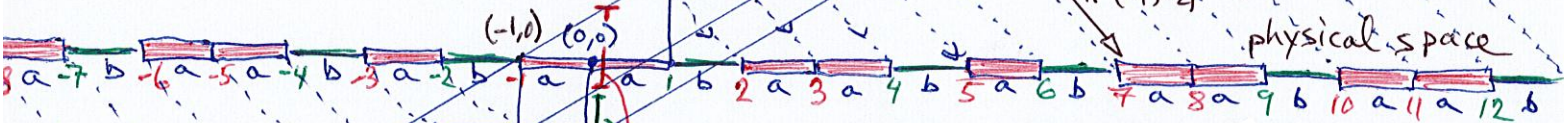
↑
internal space

$\pi_{int}(x_1, x_2) = \frac{1}{\varphi} x_1 + x_2$

slope φ^{-1}

$\pi(x_1, x_2) = x_1 + x_2$

physical space



$V_a = [4-2, 4-]$

$V_b = [-1, 4-2]$

Coloration de \mathbb{Z} :
 $\mathbb{Z} = P_a \cup P_b$

Model set or C&P set:

$P_a = \{\text{position des } a\} = \pi(\mathbb{Z}^2 \cap \pi_{int}^{-1}(V_a))$

$P_b = \{\text{position des } b\} = \pi(\mathbb{Z}^2 \cap \pi_{int}^{-1}(V_b))$

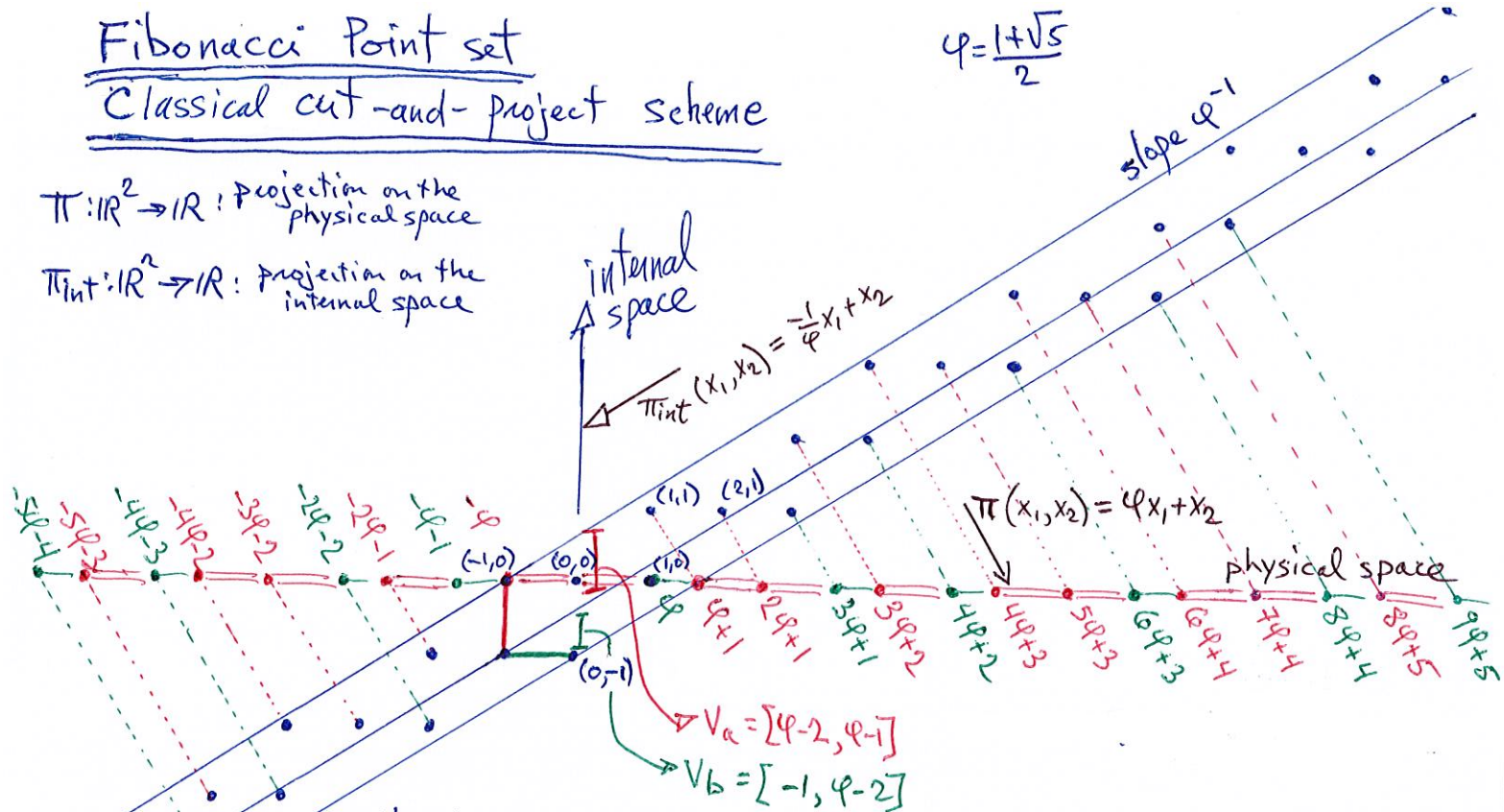
Fibonacci Point set

$$\varphi = \frac{1+\sqrt{5}}{2}$$

Classical cut-and-project scheme

$\pi: \mathbb{R}^2 \rightarrow \mathbb{R}$: projection on the physical space

$\pi_{\text{int}}: \mathbb{R}^2 \rightarrow \mathbb{R}$: projection on the internal space



Model set or C&P set:

$$\Lambda_a = \pi(\mathbb{Z}^2 \cap \pi_{\text{int}}^{-1}(V_a)) = \{\pi(x) \mid x \in \mathbb{Z}^2, \pi_{\text{int}}(x) \in V_a\}$$

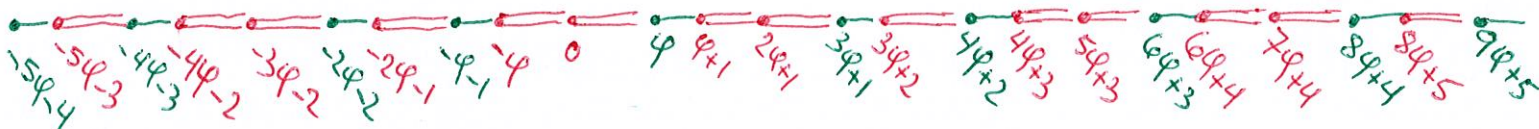
$$\Lambda_b = \pi(\mathbb{Z}^2 \cap \pi_{\text{int}}^{-1}(V_b)) = \{\pi(x) \mid x \in \mathbb{Z}^2, \pi_{\text{int}}(x) \in V_b\}$$

Ensembles de points dans \mathbb{R}

$$a: \frac{\varphi}{1}$$

$$b: \frac{1}{1}$$

Drake, Grimm
Aperiodic order, 2013



Dans chaque intervalle, on choisit un point pour le représenter.

Par exemple, le point le plus à gauche.

Soit Λ_a, Λ_b les ensembles de points les plus à gauche des intervalles de type a et de type b .

$$\text{Soit } \Lambda_{ab} = \Lambda_a \cup \Lambda_b.$$

On a $\Lambda_{ab} \subset \mathbb{Z}[\varphi] = \{m+n\varphi \mid m, n \in \mathbb{Z}\} \subset \mathbb{Q}(\varphi) = \mathbb{Q}(\sqrt{5})$ corps de nombres quadratique
anneau d'entiers

Conjugaison algébrique (l'unique automorphisme de corps non-trivial)

$$*: \mathbb{Q}(\sqrt{5}) \rightarrow \mathbb{Q}(\sqrt{5})$$

$$\sqrt{5} \mapsto -\sqrt{5}$$

$$\varphi \mapsto \varphi' = \frac{1-\sqrt{5}}{2} = 1-\varphi$$

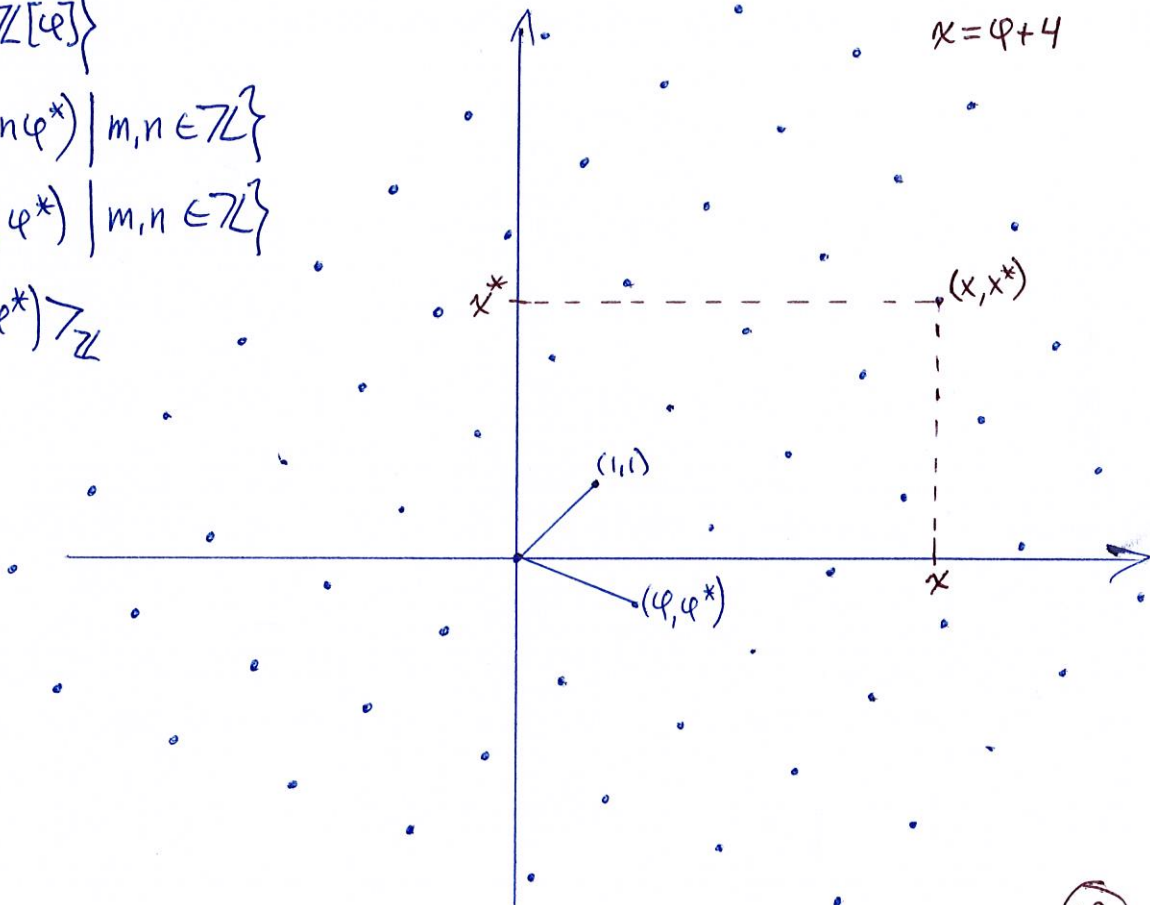
Plongement de Minkowski de $\mathbb{Z}[\varphi]$ dans \mathbb{R}^2 : un réseau

$$\mathcal{L} = \{(x, x^*) \mid x \in \mathbb{Z}[\varphi]\}$$

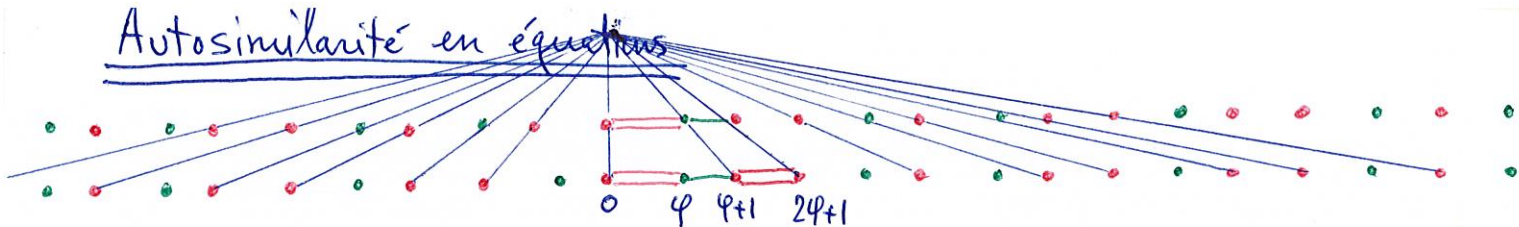
$$= \{(m+n\varphi, m+n\varphi^*) \mid m, n \in \mathbb{Z}\}$$

$$= \{m(1,1) + n(\varphi, \varphi^*) \mid m, n \in \mathbb{Z}\}$$

$$= \langle (1,1), (\varphi, \varphi^*) \rangle_{\mathbb{Z}}$$



Autosimilarité en équations



$$\text{On a } \begin{cases} \Lambda_a = \varphi \Lambda_a \cup \varphi \Lambda_b \\ \Lambda_b = \varphi \Lambda_a + \varphi \end{cases} \quad \left(\begin{array}{l} \text{on néglige les deux points} \\ \text{à gauche de l'origine} \end{array} \right)$$

On transforme ce système d'équations en passant au conjugué algébrique.

$$W_{ab} := \overline{\Lambda_{ab}^*}$$

$$W_a := \overline{\Lambda_a^*}$$

$$W_b := \overline{\Lambda_b^*}$$

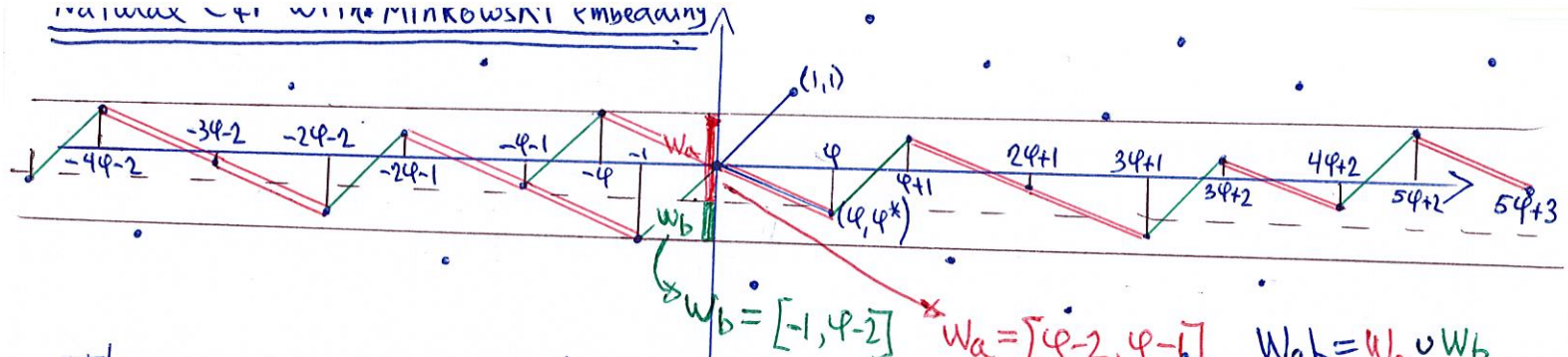
$$\text{On obtient } \begin{cases} W_a = \varphi^* W_a \cup \varphi^* W_b \\ W_b = \varphi^* W_a + \varphi^* \end{cases} \quad (\text{IFS-FIBO})$$

On a $|\varphi^*| < 1$. C'est donc un système de fonctions itérées (IFS) qui est une contraction pour la distance de Hausdorff.

Proposition Le système (IFS-FIBO) possède une unique solution parmi les paires de sous-ensembles compacts de \mathbb{R} :

$$W_a = [\varphi - 2, \varphi - 1] \quad \text{et} \quad W_b = [-1, \varphi - 2].$$

Preuve Découle de la théorie de Hutchinson (1981). C'est une application du théorème de point-fixe de Banach, \square



Theorem

$$\Lambda_{ab} = \{x \in \mathbb{Z}[\varphi] \mid x^* \in W_{ab}\}$$

$$\Lambda_a = \{x \in \mathbb{Z}[\varphi] \mid x^* \in W_a\}$$

$$\Lambda_b = \{x \in \mathbb{Z}[\varphi] \mid x^* \in W_b\}$$

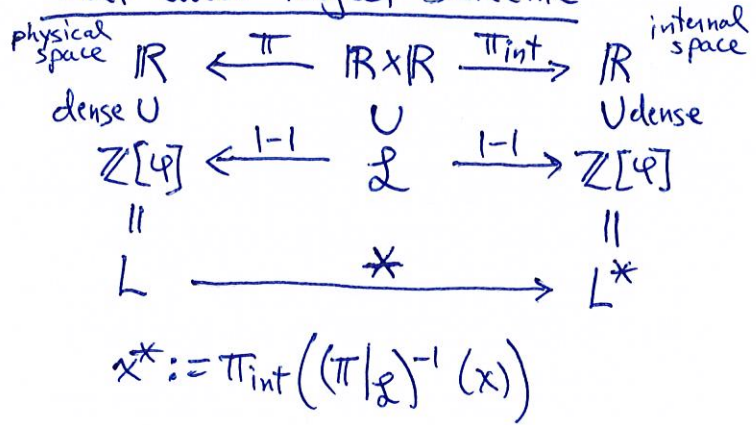
$$W_a = [\varphi-2, \varphi-1]$$

$$W_b = [-1, \varphi-2]$$

$$W_{ab} = W_a \cup W_b = [-1, \varphi-1]$$

$$\mathcal{L} = \{(x, x^*) \mid x \in \mathcal{L}\}$$

Cut and Project Scheme



Model set or "Cut and Project Set"

window $W \subset \mathbb{R}$ internal space

$$\mathcal{L}(W) = \{x \in \mathcal{L} \mid x^* \in W\}$$

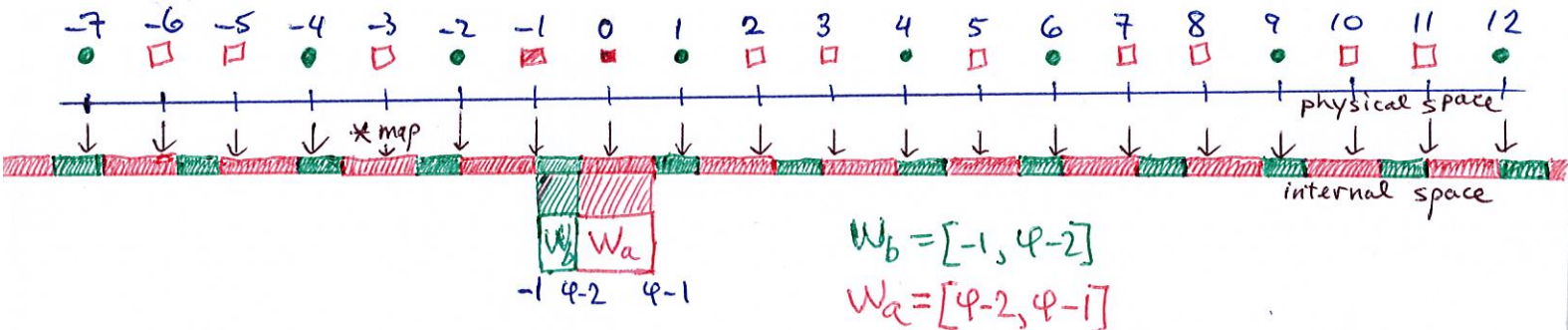
- Many results (FLC, uniformly discrete, relatively dense Meyer set) depending on W , diffraction property, ...
- Many aperiodic tilings (Penrose, Ammann-Beecher, Jeandel-Rao) are model sets

Physical and internal spaces' wedding

Using $\pi: \mathbb{R}^2 \rightarrow \mathbb{R}: (x_1, x_2) \mapsto x_1 + x_2$ and

$$\pi_{\text{int}}: \mathbb{R}^2 \rightarrow \mathbb{R}/\varphi\mathbb{Z}$$

$$(x_1, x_2) \mapsto x_1 + x_2$$



* map

$$*: \mathbb{Z} \rightarrow \mathbb{R}/\varphi\mathbb{Z}$$

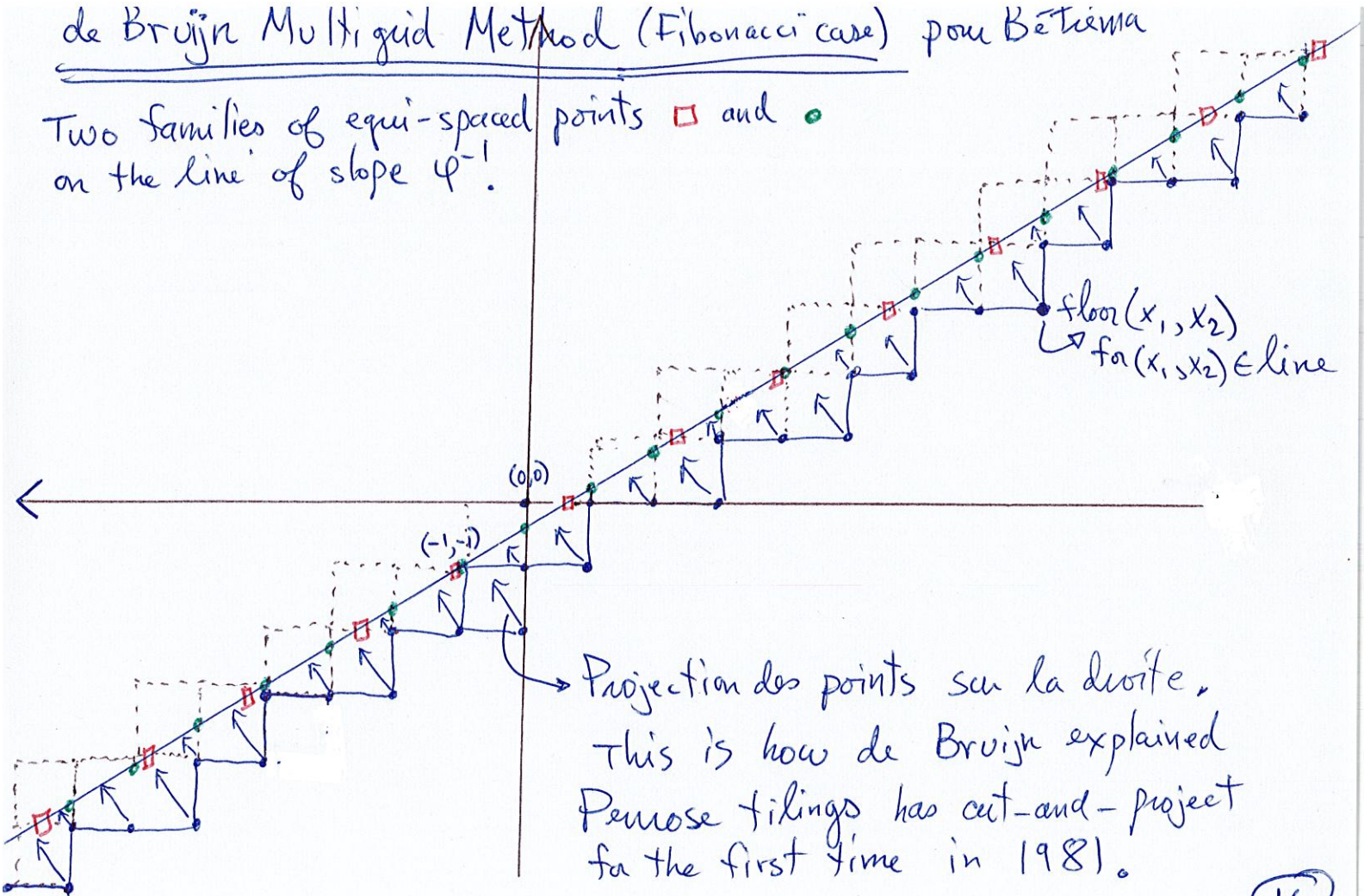
$$x \mapsto x \pmod{\varphi}$$

We may use this construction to explain

Jeandel-Rao aperiodic Wang tilings. See arxiv:1903.06137

de Bruijn Multigruid Method (Fibonacci case) pour Bézemia

Two families of equi-spaced points \square and \bullet on the line of slope φ^{-1} .



Projection des points sur la droite,
This is how de Bruijn explained
Penrose tilings has cut-and-project
for the first time in 1981.